

Нами было получено также явное выражение для кинетической энергии системы как функционала двухчастичной функции плотности $n_2(r_1, r_2)$ [4—6]:

$$T[n_2] = \frac{1}{N-1} \int dr_1 dr_2 \cdot \left\{ \frac{3}{5} (72\pi^4/p^2)^{1/3} [n_2(r_1, r_2)]^{4/3} + \left[\frac{5}{576} \frac{[(\nabla_1 + \nabla_2) n_2(r_1, r_2)]^2}{n_2(r_1, r_2)} - \frac{1}{48} \frac{(\Delta_1 + \Delta_2) n_2(r_1, r_2)}{[n_2(r_1, r_2)]^{1/3}} \right] \right\},$$

где p — фактор вырождения, равный числу возможных значений проекций дискретных координат (для электронов $p=2$, для нуклонов $p=4$ и т. д.).

Обобщенная теорема Хоэнберга—Кона, таким образом, может рассматриваться как основная теорема нового физического подхода к описанию ферми-систем, учитывающего корреляционные и обменные эффекты в исходной формулировке и в силу этого обладающего гораздо более широкой областью применения, чем одночастичные подходы.

ЛИТЕРАТУРА

- [1] Теория неоднородного электронного газа/Под ред. С. Лундквиста, Н. Марча. М., 1987. [2] Hohenberg P., Kohn W.//Phys. Rev. 1964. 136, N 3B. P. 864. [3] Dreizler R. M., Gross E. K. U. Density Functional Theory. Springer-Verlag, 1990. [4] Гаджиев А. М., Еркович О. С., Комаров В. В., Попова А. М.//Вестн. Моск. ун-та. Физ. Астрон. 1990. 31, № 4. С. 73. [5] Еркович О. С., Комаров В. В., Попова А. М. и др.//Там же. 1991. 32, № 4. С. 42. [6] Еркович О. С., Комаров В. В., Попова А. М.//Поверхность. 1993. № 2. С. 5.

Поступила в редакцию
27.10.93

ВЕСТН. МОСК. УН-ТА. СЕР. 3. ФИЗИКА. АСТРОНОМИЯ. 1994. Т. 35, № 2

РАДИОФИЗИКА

УДК 621.318.136

О ПОРОГЕ ПАРАМЕТРИЧЕСКОГО ВОЗБУЖДЕНИЯ СПИНОВЫХ ВОЛН В ОБРАЗЦАХ КОНЕЧНЫХ РАЗМЕРОВ

Е. В. Лебедева, Н. С. Седлецкая, И. Т. Трофименко
(кафедра радиофизики)

Общее уравнение для параметрического процесса в ограниченных средах использовано при расчете порога возбуждения спиновых волн в образцах монокристаллов ферритов. Получено хорошее соответствие результатов расчетов и экспериментов. Учет конечных размеров образцов позволил объяснить особенности хода пороговых кривых для сфер малого диаметра (доли миллиметра). С помощью нелинейного LC-фильтра нижних частот радиодиапазона проведено моделирование параметрических процессов в средах с малыми и большими потерями.

При изучении параметрического возбуждения спиновых волн (СВ) в магнитных материалах обычно предполагается, что пороговые формулы, полученные для плоских СВ в безграничной среде [1, 2], применимы и для образцов конечных размеров. Однако такое предположение справедливо только при условии, что длина СВ много меньше размеров образца. Это требование часто не выполняется. Действительно, из расчета зависимостей пороговых полей h_{crit} от внешнего по-

стоянного магнитного поля H для СВ с частотой $\omega_k = \omega/2$, где ω — частота накачки, следует, что при любой ориентации переменного магнитного поля h относительно H существует интервал значений постоянных магнитных полей, для которых минимальным порогом обладают СВ с волновыми числами $k \approx 0$. Для таких длинных волн необходимо учитывать граничные условия.

При уменьшении размеров образца L влияние границ на возбуждение СВ проявляется в изменении характера зависимости $h_{crit}(H)$. Исследования, проведенные на сферических образцах монокристаллов иттрий-железных гранатов (ИЖГ) с диаметром от 1,02 до 0,18 мм [3], показали, что с уменьшением L до 0,18 мм наблюдается заметное увеличение h_{crit} при всех $H < H_c$ и резкое возрастание h_{crit} при переходе через H_c — поле, соответствующее минимуму $h_{crit}(H)$ (рис. 1). Аналогичный ход $h_{crit}(H)$ вблизи H_c со стороны больших H был получен на пленках ИЖГ при уменьшении области воздействия на пленку локальной накачки [4]. Такие результаты не уда-

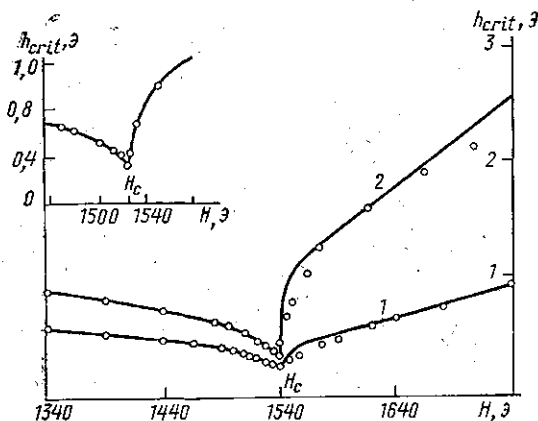


Рис. 1. Зависимость h_{crit} от H при частоте накачки $f=9,3$ ГГц и $h \parallel H$, $H \parallel [111]$. Сплошные кривые — расчет, точки — эксперимент [3]; $L=1,02$ (1) и 0,18 мм (2). На вставке — фрагмент зависимости h_{crit} от H для $L=0,18$ мм, рассчитанный в предположении, что спектр СВ ограничен со стороны малых k

ся объяснить, используя известные аппроксимации зависимости параметра затухания возбуждаемых СВ ΔH_k от величины и направления волнового вектора k .

Учет влияния размеров образца на параметрическое возбуждение СВ был проведен в работах [5, 6] при квантовомеханическом расчете h_{crit} для сфер и пластин. Предполагалось, что основным механизмом воздействия границ на h_{crit} является двухмагнитный процесс рассеяния СВ на поверхности образца. В этом случае h_{crit} определялось из решения уравнения

$$\operatorname{ctg}(\kappa L) = -\delta/\kappa, \quad (1)$$

где $\kappa = \sqrt{(\sigma_0 h_{crit})^2 - \delta^2}$, σ_0 — параметр связи СВ с полем накачки, δ — декремент затухания СВ.

В предельных случаях для параллельной накачки ($h \parallel H$)

$$\begin{aligned} \text{при } l \ll L \quad h_{crit} &= \frac{\omega}{4\pi M_s \gamma \sin^2 \theta_k} \sqrt{\Delta H_{k0}^2 + \left(\frac{\pi v_g}{\gamma_1 L}\right)^2}, \\ \text{при } l \gg L \quad h_{crit} &= \frac{\omega}{4\pi M_s \gamma \sin^2 \theta_k} \sqrt{\Delta H_{k0}^2 + \left(\frac{\pi v_g}{2\gamma_1 L}\right)^2}, \end{aligned} \quad (2)$$

где $l = v_g / (\gamma_1 \Delta H_{k0})$ — длина свободного пробега СВ, γ — гиромагнитное отношение (для ИЖГ $\gamma = 2,8$ МГц/Э), $\gamma_1 = 2\pi\mu$, v_g — групповая скорость СВ, $4\pi M_s$ — намагниченность насыщения, ΔH_{k0} — параметр затухания СВ в бесконечной среде, θ_k — полярный угол вектора k .

Следует отметить, что параметрическое возбуждение волн в среде с нелинейными параметрами при синфазной накачке изучалось также в рамках чисто классической теории в ряде работ (см., напр., [7, 8]). Если параметрическое воздействие осуществляется в ограниченной области среды с согласованными концами, то возбуждение представляется в виде двух волн, бегущих навстречу друг другу внутри «активной» области, аналогично картине возбуждения СВ. За границами этой области волны затухают, причем никаких дополнительных предположений о механизмах возбуждения на границах не используется. Порог параметрического возбуждения определяется соотношением между глубиной модуляции параметра нелинейной среды, величиной потерь в среде и размерами «активного» участка. Для одномерного случая уравнение для определения пороговой величины амплитуды накачки полностью совпадает с выражением (1). Подобные аналогии позволяют использовать модельные и расчетные подходы для исследования процессов параметрического возбуждения СВ в ферритах.

В настоящей работе проведен расчет порога параметрического возбуждения СВ на основе решения уравнения (1). Расчет проводился для конкретных экспериментальных условий, использованных в работах [3] и [9]. Одновременно проводилось моделирование параметрических процессов при синфазной накачке нелинейного LC-фильтра нижних частот радиодиапазона.

Результаты расчетов и обсуждение

1. Параллельная накачка ($h \parallel H$). Наиболее простое выражение для h_{crit} монокристаллических образцов без учета влияния границ получается при H , параллельном осям кристалла [100] или [111]:

$$h_{\text{crit}} = \frac{\omega \Delta H_k}{4\pi M_s \gamma \sin^2 \theta_k} \quad (3)$$

Для каждого H обычно проводится минимизация выражения (3) с учетом дисперсионного соотношения

$$\omega_k^2 = (\omega/2)^2 = \gamma^2 (H_{\text{in}} + Dk^2) (H_{\text{in}} + Dk^2 + 4\pi M_s \sin^2 \theta_k) \quad (4)$$

и предположения, что ΔH_k — величина постоянная. Здесь внутреннее поле $H_{\text{in}} = H - H_d - H_a$, H_d — размагничивающее поле образца, H_a — поле анизотропии, D — обменная константа. При этом наименьшим h_{crit} обладают СВ с наибольшим допустимым θ_k . После такой минимизации для более точного совпадения с результатами эксперимента подбирается зависимость ΔH_k от k и θ_k . Наиболее часто используется аппроксимация $\Delta H_k = A + Bk$ при $H < H_c$ и

$$\Delta H_k = A + A_1 \sin^2 2\theta_k \text{ при } H > H_c \quad (5)$$

Полученные в результате минимизации h_{crit} по формулам (3) и (4) зависимости k и θ_k от H представлены на рис. 2 штриховыми линиями. Видно, что при $H > H_c$ величина $k=0$, а θ_k уменьшается от 90° до 0 с увеличением H .

В данной работе при минимизации h_{crit} размер образца учитывался уравнением (1). Для каждого H определялось k , соответствующее минимальному h_{crit} . Использовались следующие соотношения:

$$\sigma_0 = 4\pi M_s \gamma \sin^2 \theta_k \gamma_1 / \omega \omega_g, \quad \delta = \Delta H_{k0} \gamma_1 / \omega_g.$$

Выражение для v_g записывалось в виде [10]

$$v_g = D\gamma_1 k (\varepsilon + \varepsilon^{-1}) e_h + \varepsilon k^{-1} 4\pi M_s \gamma_1 \sin \theta_h \cos \theta_h e_{\theta_h}, \quad (6)$$

где e_h , e_{θ_h} — единичные векторы, ε^{-1} — эллиптичность СВ,

$$\varepsilon = -\frac{4\pi M_s \gamma}{\omega} \sin^2 \theta_h + \sqrt{1 + \left(\frac{4\pi M_s \gamma}{\omega} \sin^2 \theta_h\right)^2}.$$

В выражении (6) второй член должен играть существенную роль при $H > H_c$, и тем большую, чем меньше k . Зависимость $\Delta H_k(k)$ использовалась в виде, характерном для процесса трехмагнного слияния [11]:

$$\Delta H_k = A + B\mathcal{L}(k/k_{\text{crit}}), \quad (7)$$

где

$$\mathcal{L} = \frac{1}{1,39x} \ln \left[1 + \frac{8x^2(1+2x^2)}{1+8x^2} \right], \quad x = \frac{k}{k_{\text{crit}}}.$$

Коэффициенты A , B и k_{crit} определялись по данным работы [3] для образца с $L=1,02$ при $H < H_c$: $A=0,135$ Э, $B=0,276$ Э, $k_{\text{crit}}=2 \cdot 10^6$ см $^{-1}$.

Результаты расчетов $h_{\text{crit}}(H)$ для образцов с $L=1,02$ и $0,18$ мм приведены на рис. 1 (сплошные линии). Здесь же нанесены экспериментальные точки по данным работы [3]. При всех H наблюдается хорошее соответствие результатов расчета и эксперимента. При уменьшении L до $0,18$ мм h_{crit} возрастает при всех H , в том числе и H_c . Если предположить, что спектр возбуждаемых СВ не зависит

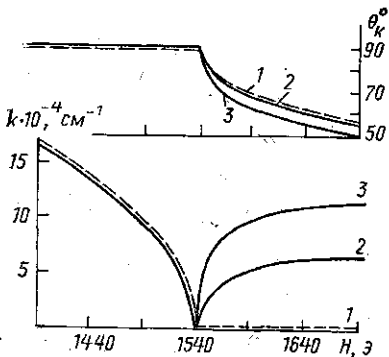


Рис. 2. Зависимость k и θ_k от H при $h \parallel H$. Штриховые кривые (1) — результат обычной минимизации, сплошные — расчет по формуле (1); $L=1,02$ (2) и $0,18$ мм (3)

от L , то с уменьшением L возрастает величина A . Такому подходу соответствует кривая 2 на рис. 1. Возможен и другой вариант: величина A не зависит от L , но спектр СВ ограничен со стороны малых k . Это должно приводить к сдвигу H_c в сторону меньших H . Для случая работы [3] ($k \approx 5 \cdot 10^4$ см $^{-1}$) этот сдвиг равен 12 Э (см. вставку на рис. 1). Так как в работе [3] графики приведены в относительных значениях H , то по этим данным проверить правильность предположения нельзя. В его пользу говорят результаты работы [4], где сдвиг H_c равен $6 \div 9$ Э.

Зависимости $k(H)$ и $\theta_k(H)$ на рис. 2 показывают, что в образцах конечных размеров при $H > H_c$ возрастают значения k . Это согласуется с данными [12] по изучению рассеяния света на параметрически возбужденных СВ в пленке ИЖГ при параллельной накачке, когда СВ с малыми $k \approx 0$ возбуждались только в интервале $H - H_c = \pm 50$ Э и имели наинизший порог в узкой области $H - H_c = \pm 12$ Э. Такое поведение k при $H > H_c$ в образцах конечных размеров является результатом ком-

промисса между требованием максимальной эллиптичности (максимального θ_k), определяющей связь волн с полем накачки, и малой v_g (большие k).

Расчет показал, что для сферических образцов с $L=1,02$ мм возбуждение СВ с $k \leq 10^4$ см⁻¹ невыгодно, так как v_g этих волн очень велика и для всех H расчетные значения h_{crit} значительно превышают экспериментальные.

Отметим, что аппроксимация (5) естественным образом получается из формулы (2), справедливой для $L \approx 1$ мм, когда $l < L$. При $H > H_c$ первый член в (6) более чем на порядок меньше второго и с точностью до 10% можно записать

$$\sqrt{\Delta H_{k0}^2 + \left(\frac{\pi v_g}{\gamma_1 L}\right)^2} \approx \Delta H_{k0} \left[1 + \frac{1}{2} \left(\frac{\pi \cdot 4\pi M_s g}{2Lk\Delta H_{k0}}\right)^2 \right] \sin^2 2\theta_k =$$

$$= A + A_1 \sin^2 2\theta_k.$$

2. Перпендикулярная накачка ($\mathbf{h} \perp \mathbf{H}$). Расчет h_{crit} при $\mathbf{h} \perp \mathbf{H}$ с учетом конечных размеров образца был проведен для ориентации $\mathbf{H} \parallel [100]$, так как для этого направления выражение для h_{crit} идеального монокристалла без учета границ получается наиболее простым [10]:

$$h_{\text{crit}} = \frac{\omega}{4\pi M_s \gamma} \cdot \frac{(\omega^2 - \gamma^2 H^2) \Delta H_k}{\sin \theta_k \cos \theta_k [\omega^2 + 2\gamma^2 H (H_{1n} + Dk^2)]}.$$

Расчет h_{crit} с учетом размерных эффектов проводился для данных работы [9] по формуле (1). Величина параметра связи σ_0 в этом случае равна

$$\sigma_0 = \frac{4\pi M_s \gamma \gamma_1 \sin \theta_k \cos \theta_k}{\omega v_g (\omega^2 - \gamma^2 H^2)} [\omega^2 + 2\gamma^2 H (H_{1n} + Dk^2)].$$

Зависимость $\Delta H_k(k)$ выбиралась в виде (7), где A определялось из условия равенства $h_{\text{crit theor}}$ и $h_{\text{crit exp}}$ при $H=1000$ Э ($k \approx 4,3 \times 10^5$ см⁻¹), когда вклад размерных эффектов мал, постоянная B находилась из зависимости $h_{\text{crit}}(H)$ при $\mathbf{h} \parallel \mathbf{H}$ в области $H < H_c$ для того же образца. Получено $A=0,23$ Э, $B=0,208$ Э, $k_{\text{crit}}=2,5 \cdot 10^6$ см⁻¹.

Результаты расчета для $L=1,3$ мм приведены на рис. 3 (кривая 1). Здесь же нанесены экспериментальные точки по данным работы [9, рис. 3.31]. Видно, что расчетная зависимость $h_{\text{crit}}(H)$ совпадает с экспериментальной, за исключением области резкого излома на экспериментальной кривой вблизи $H=1600$ Э. Такая экспериментальная зависимость $h_{\text{crit}}(H)$ типична для монокристаллов ИЖГ высокого качества. Для ее описания различными авторами было предложено несколько вариантов выражений $\Delta H_k(k, \theta_k)$. Физическое обоснование подобного вида пороговых кривых дал Паттон [13], предположив, что в полях H , выше которых из-за дисперсионному соотношению возможно возбуждение СВ с любыми k , происходит перескок от возбуждения коротких СВ к возбуждению длинных, что связано с характером зависимости ΔH_k от k . Вид зависимости $\Delta H_k(k, \theta_k)$ подбирался в [13] эмпирически отдельно для малых и больших k .

Кривая 2 на рис. 3 построена по расчетным данным для образца с $L=0,18$ мм. Видно, что в отличие от параллельной накачки в данном случае при изменении размеров образца не происходит никаких существенных изменений в зависимости $h_{crit}(H)$, кроме общего увеличения h_{crit} , что совпадает с выводом работы [3].

На рис. 4 приведены значения k и θ_k для образцов с $L=1,3$ и

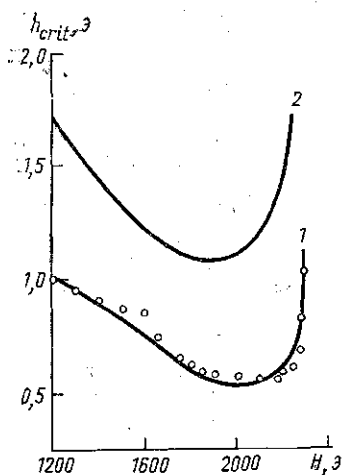


Рис. 3. Зависимость h_{crit} от H при $f=9,3$ ГГц и $h \perp H$, $H \parallel [100]$. Сплошные кривые — расчет, точки — эксперимент [9]; $L=1,3$ (1) и $0,18$ мм (2)

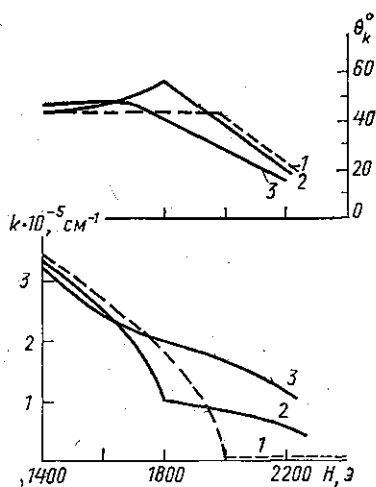


Рис. 4. Зависимость k и θ_k от H при $h \perp H$. Штриховая кривая (1) — результат обычной минимизации, сплошные — расчет по формуле (1); $L=1,3$ (2) и $0,18$ мм (3).

$0,18$ мм. Здесь же представлены $k(H)$ и $\theta_k(H)$, полученные путем обычной минимизации без учета граничных условий. Приведенные для $L=1,02$ мм зависимости в целом подтверждают предположение, высказанное в работе [13]. Действительно, в области возбуждения коротких СВ величина θ_k держится постоянной, в области перескока к длинным СВ угол θ_k возрастает, а потом уменьшается до нуля. Для $L=0,18$ мм зависимости θ_k от H носят монотонный характер. Конкретные значения k зависят от L .

Моделирование параметрических процессов в ограниченных средах

Модельные эксперименты были проведены на макете типа фильтра низких частот в диапазоне нескольких мегагерц с числом ячеек $N=96$. Параметры ячеек линии подобраны одинаковыми с точностью не хуже 1%. Синфазная накачка подавалась на ячейки через небольшие емкости от низкоомного источника сигнала, что практически полностью исключало дополнительную связь ячеек через тракт накачки. Эксперименты в основном проводились в диапазоне частот субгармоник от $0,5 f_{crit}$ до f_{crit} , при этом для накачки линия была запредельной. Электрическая длина линии в указанном диапазоне частот составляла от 12 до 48 длин волн субгармоники. Декремент затухания менялся от величины порядка 0,01 на частотах вблизи $0,5 f_{crit}$ до $0,2 \div 0,5$ вблизи f_{crit} .

Измерялось пороговое напряжение накачки в зависимости от длины «активного» участка линии L , частоты f и величины потерь δ , а также распределение амплитуды субгармоники A_{sh} вдоль линии. Результаты измерений качественно и количественно подтверждают известные теоретические выводы: порог уменьшается с увеличением длины «активного» участка и уменьшением потерь.

На рис. 5 приведены типичные распределения A_{sh} вдоль линии (N — номер ячейки) вблизи порога для случаев, когда «активный» участок линии занимал область с 17-й по 72-ю ячейку, а вне этого участка накачка не подавалась. На «активном» участке амплитуда накачки постоянна. Распределение A_{sh} представляет собой интерференционную картину наложения двух синхронных волн, бегущих в противоположных

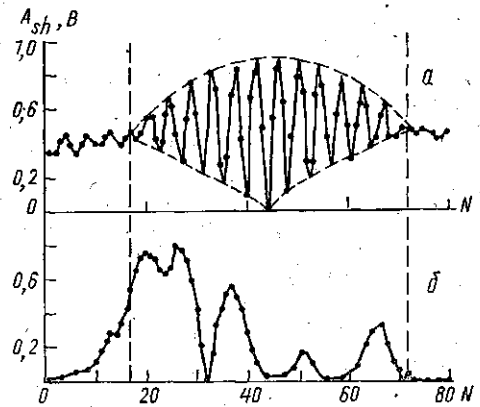


Рис. 5. Зависимость амплитуды субгармоники A_{sh} от номера ячейки N : малые потери (а) и большие потери (б). Вертикальными пунктирными линиями отмечены границы области взаимодействия с накачкой. На рис. 5, б тонкая структура распределения не показана

направлениях. Огибающая этого распределения при небольших потерях (рис. 5, а) имеет максимум в центре «активного» участка линии, а на краях спадает до некоторого уровня, величина которого тем меньше, чем больше потери. Это соответствует случаю возбуждения СВ с $l > L$ (для $L=0,18$ мм и $H > H_c$). При больших потерях (рис. 5, б) интерференционная картина усложняется: вся область генерации как бы распадается на отдельные участки с провалами амплитуды до нуля, при этом общая огибающая также падает до нуля на краях линии. Различие потерь на разных краях линии связано с небольшим монотонным изменением параметров ячеек вдоль линии, что становится существенным вблизи частоты отсечки. Этот случай моделирует возбуждение СВ с $l < L$, что соответствует всей области H для сферы с $L \approx 1$ мм.

Следует отметить, что при небольших δ порог существенно зависит от условий согласования линии на концах: распределение A_{sh} осциллирует с изменением частоты субгармоники или длины линии. При больших δ рассогласование на концах линии практически не сказывается на величине порога.

Проведенное исследование параметрических процессов в образцах конечных размеров позволило объяснить ряд экспериментальных результатов, не укладывающихся в рамки теории, развитой для плоских СВ в безграничной среде. Имеющиеся расхождения между результатами расчета и эксперимента для $L=1,02$ мм в области $H-H_c < 50$ Э при $h \parallel H$ и для $H \approx 1600$ Э при $h \perp H$, возможно, устраняемы путем эмпирического подбора $\Delta H_k(k, \theta_k)$, но это не являлось задачей исследования. В данной работе учитывалась только зависимость ΔH_k от k , а влияние θ_k проявлялось через учет v_g . В узкой области вблизи H_c , где возбуждаются СВ с малыми k , может быть перспективным переход от модели плоских СВ к решению задачи с помощью специальных функций.

ЛИТЕРАТУРА

- [1] Suhl H. // J. Phys. Chem. Solids. 1957. 1. N 4. P. 209. [2] Schläpman E., Joseph R. // J. Appl. Phys. 1961. 32, N 6. P. 1006. [3] Мелков Г. А. // ЖЭТФ. 1976. 70. С. 1325. [4] Мелков Г. А., Шолом С. В. // ФТТ. 1987. 29. С. 3257. [5] Львов В. С., Рубенчик А. Н. Препринт ИАН СО АН СССР № 31. Новосибирск, 1976. [6] Черепанов В. Б. Некоторые вопросы нелинейной теории параметрического возбуждения волн: Дис. ... канд. физ.-мат. наук. Новосибирск, 1980. [7] Горшков А. С., Марченко В. С., Цельковский А. Ф. // ЖТФ. 1968. 38. С. 379. [8] Горшков А. С., Лаврова О. А. // Радиотехн. и электроника. 1968. 13. С. 1516. [9] Яковлев Ю. М., Генделев С. Ш. Монокристаллы ферритов в радиоэлектронике. М., 1975. [10] Patton C. E. // Proc. Int. Conf. Ferrites. Kyoto, Japan, 1970. P. 524. [11] Sparks M. Ferromagnetic Relaxation Theory. N. Y., L., 1964. [12] Kabos P., Wilber W. D., Patton C. E. // Proc. 7th Int. Conf. on Microwave Ferrites. CSSR, Smolenice, 1984. P. 23. [13] Patton C. E., Jantz W. // J. Appl. Phys. 1979. 50, N 11. P. 7082.

Поступила в редакцию
16.06.93

ВЕСТН. МОСК. УН-ТА. СЕР. 3, ФИЗИКА. АСТРОНОМИЯ. 1994. Т. 35, № 2

УДК 533.951

О СТАЦИОНАРНОМ СОСТОЯНИИ ПЛОСКОГО ДИОДА

И. М. Алешин, Л. С. Кузьменков

(кафедра теоретической физики)

Исследовано стационарное состояние плоского диода на основе кинетической теории. Показано, что в отличие от результатов расчета в рамках холодной гидродинамики электронная плотность в диоде везде конечна, а ее максимальное значение определяется входным током и температурой частиц. Полученные результаты могут быть полезны для расчета приборов с виртуальным катодом.

Стационарное состояние плоского диода подробно исследовано для двух предельных значений параметра $\xi \equiv v_T/v_0$: $\xi=0$ и $\xi=\infty$, где $v_T = (T/m)^{1/2}$ — тепловая скорость частиц, v_0 — средняя скорость инжекции (см., напр., [1, 2]). В отличие от случая нулевой скорости инжекции пучка ($\xi=0$) при $\xi \gg 1$ переход в режим значительного отражения частиц от виртуального катода происходит скачком, когда при увеличении безразмерного тока $I = 4\pi n_0 e^2 d^2 / m v_0^2$ его величина превысит некоторое значение I_1 (e , n_0 — заряд электронов и их плотность у катода соответственно, d — расстояние между электродами). Изменение параметра I в обратную сторону приводит к выходу из этого режима, но при $I_2 < I_1$. Расчеты значений I_1 и I_2 для нулевой температуры электронов приведены в [1, 2].

Ниже показано, что при увеличении температуры частиц ток I_1 уменьшается, в то время как I_2 , наоборот, возрастает, так что при некотором значении $\xi = \xi^*$ величина I_1 становится равной I_2 и явление скачка потенциала уже не имеет места. При конечном значении ξ электронная плотность конечна в любой точке внутри диода. Ее максимальная величина оказывается порядка $1/V\xi$. Таким образом, в диоде достигается тем большее значение максимума плотности, чем меньше тепловой разброс скоростей электронов. Представляло бы интерес проверить экспериментально эту простую количественную зависимость. С теоретической точки зрения использование кинетической теории для расчета процессов в диоде имеет преимущество по сравнению с методами холодной гидродинамики, приводящими к бесконечному значению электронной плотности [3]. Поэтому для решения задачи ниже используются уравнения физической кинетики.